

**CENTRO ESTADUAL DE EDUCAÇÃO TECNOLÓGICA “PAULA SOUZA”**

**FACULDADE DE TECNOLOGIA DE BEBEDOURO**

**TECNOLOGIA EM BIG DATA NO AGRONEGÓCIO**

**MONITORAMENTO DE LAGOAS DE ÁGUA RESIDUARIA**

**AUTOR: JULIANO TIMÓTEO DA SILVA**

**ORIENTADOR: MARACELO JOSÉ ARISTEU**

**BEBEDOURO**

**2025**

JULIANO TIMÓTEO DA SILVA

**MONITORAMENTO DE LAGOAS DE ÁGUA RESIDUARIA**

Monografia apresentada à Faculdade de Tecnologia de Bebedouro, como parte dos requisitos para a obtenção do título de Tecnólogo em Big Data no Agronegócio

Orientador: **prof. Marcelo José Aristeu**

**BEBEDOURO**

2025

*“A tecnologia move o mundo”*

STEVE JOBS

## Agradecimentos

Agradeço primeiramente com todo o meu carinho e gratidão a:

Minha a minha esposa, que sempre acreditou em mim e me apoiou incondicionalmente. Sua paciência, amor e incentivo foram fundamentais para que eu chegasse até aqui.

Meu orientador, Marcelo, por sua orientação, apoio e valiosas contribuições ao longo desta jornada. Seu conhecimento e dedicação foram essenciais para a realização deste trabalho.

Meus amigos, por estarem ao meu lado em cada etapa desta caminhada, oferecendo apoio, compreensão e muitas vezes uma palavra de encorajamento quando eu mais precisava e a todos que contribuíram, direta ou indiretamente, para a conclusão deste projeto, meu sincero agradecimento.

Agradeço em especial à professora **Mariana Moretto**, por insistir e abrir os caminhos que tornaram possível a conclusão desta jornada. Sua dedicação e apoio foram essenciais para este trabalho.

SILVA, J.T. **Monitoramento de lagoas de águas residuárias**. Trabalho de Graduação (Monografia). Centro Estadual de Educação Tecnológica “Paula Souza”. Faculdade de Tecnologia de Bebedouro. n° p. 2025.

## RESUMO

Este trabalho tem como objetivo o desenvolvimento de uma plataforma de monitoramento de lagoas de águas residuárias utilizando sensores IoT, com coleta de dados em tempo real. A automação permite detectar transbordamentos, otimizar o uso de mão de obra e promover segurança para os colaboradores. A vinhaça, subproduto da produção de etanol da cana-de-açúcar, é aplicada por fertirrigação, contribuindo para a produtividade agrícola e sustentabilidade ambiental. O uso de sensores HC-SR04 integrados ao ESP32, com visualização de dados via Power BI, mostra-se uma solução eficaz, sustentável e de baixo custo.

**Palavras-chave:** IoT. Sensores Vinhaça. Fertirrigação. Monitoramento.

SILVA, J.T. **Monitoramento de lagoas de águas residuárias**. Trabalho de Graduação (Monografia). Centro Estadual de Educação Tecnológica “Paula Souza”. Faculdade de Tecnologia de Bebedouro. nº p. 2025.

## ABSTRACT

*This work aims to develop a monitoring platform for wastewater lagoons using IoT sensors with real-time data collection. The automation enables the detection of overflows, optimizes labor usage, and promotes worker safety. Vinasse, a by-product of ethanol production from sugarcane, is applied through fertigation, contributing to agricultural productivity and environmental sustainability. The use of HC-SR04 sensors integrated with an ESP32 microcontroller and data visualization via Power BI proves to be an effective, sustainable, and low-cost solution.*

**Keywords:** *IoT. Sensors. Vinasse. Fertigation. Monitoring.*

## SUMÁRIO

<b>1</b>	<b>INTRODUÇÃO .....</b>	<b>12</b>
<b>2</b>	<b>FUNDAMENTAÇÃO TEÓRICA.....</b>	<b>13</b>
<b>3</b>	<b>MATERIAIS E MÉTODOS.....</b>	<b>16</b>
<b>3.1</b>	<b>MATERIAIS.....</b>	<b>16</b>
<b>3.2</b>	<b>MÉTODOS .....</b>	<b>16</b>
<b>3.3</b>	<b>PROGRAMAÇÃO EM C++ .....</b>	<b>18</b>
<b>4</b>	<b>BIBLIOTECAS USADAS NO CÓDIGO .....</b>	<b>22</b>
<b>4.1</b>	<b>MARIA DB SQL .....</b>	<b>23</b>
<b>5</b>	<b>RESULTADOS ESPERADOS .....</b>	<b>24</b>
<b>5.1</b>	<b>ANÁLISE DE DADOS.....</b>	<b>25</b>
<b>5.1.1</b>	<b>CÁLCULOS .....</b>	<b>25</b>
<b>6</b>	<b>RESULTADOS E DISCUSSÕES.....</b>	<b>28</b>
<b>7</b>	<b>CONCLUSÃO .....</b>	<b>33</b>
	<b>REFERÊNCIAS.....</b>	<b>34</b>
	<b>APÊNDICE.....</b>	<b>36</b>

## LISTA DE FIGURAS

<b>FIGURA 1 -ESP .....</b>	<b>17</b>
<b>FIGURA 2 -STEP DOWN.....</b>	<b>17</b>
<b>FIGURA 3 -SENSOR ULTRASSÔNICO .....</b>	<b>17</b>
<b>FIGURA 4 -LINHA DO TEMPO C++ .....</b>	<b>19</b>
<b>FIGURA 5 -IDE ARDUINO.....</b>	<b>21</b>
<b>FIGURA 6 -SOFTWARE MARIA DB.....</b>	<b>23</b>
<b>FIGURA 7 -ARQUIVOS LOCAIS .....</b>	<b>24</b>
<b>FIGURA 8 -FÓRMULA DO VOLUME.....</b>	<b>26</b>
<b>FIGURA 9 -RESOLUÇÃO DA EQUAÇÃO.....</b>	<b>26</b>
<b>FIGURA 10 -RESOLUÇÃO DA EQUAÇÃO SIMULANDO PREENCHIMENTO.....</b>	<b>27</b>
<b>FIGURA 11 -ACESSANDO O BANCO MARIA DB VIA POWER BI.....</b>	<b>28</b>
<b>FIGURA 12 -TELA DO POWER QUERY DO POWER BI .....</b>	<b>29</b>
<b>FIGURA 13 -AREA DE TRABALHO INTERNO DO POWER BI .....</b>	<b>29</b>
<b>FIGURA 14 -FÓRMULA DAX DE VOLUME.....</b>	<b>30</b>
<b>FIGURA 15 -TELA DAS PASTAS DE TRABALHO.....</b>	<b>31</b>
<b>FIGURA 16 -AREA DE TRABALHO VISUAL DO POWER BI.....</b>	<b>32</b>



## Lista de Gráficos

<b>GRÁFICO 1 -FAIXAS.....</b>	<b>36</b>
<b>GRÁFICO 2 -AREA EMPILHADA.....</b>	<b>36</b>
<b>GRÁFICO 3 -ROSCA.....</b>	<b>37</b>
<b>GRÁFICO 4 -CYLINDRICAL GAUGE.....</b>	<b>37</b>

## Lista de Algoritmos

**ALGORITMO 2:SQL .....ERRO! INDICADOR NÃO DEFINIDO.**

**ALGORITMO 3:C++ .....3ERRO! INDICADOR NÃO DEFINIDO.**

**ALGORITMO 3:SQL.....4ERRO! INDICADOR NÃO DEFINIDO.**

## Lista de Siglas

*Esp32 - Microcontrolador de 32 bits com Wifi e Bluetooth*  
*GPIOs - General Purpose Input/Output*  
*IoT - Internet of Things*  
*V - Volts*  
*SQL - (Structured Query Language)*  
*DAX - Data Analysis Expressions*  
*DB - Date Base*  
*Step down - Conversor de tensão*  
*Esp - Espressif Systems Processor*  
*Wi-Fi - Wireless Fidelity*  
*ADC - Analog to Digital Converter*  
*DAC - Digital to Analog Converter*  
*SPI - Serial Peripheral Interface*  
*I2C - Inter Integrated Circuit*  
*UART - Universal Asynchronous Receiver*  
*IDE - Integrated Development Environment*  
*MQTT - Message Queuing Telemetry Transport*  
*HC-SR04 - High Accuracy Sensor Range 04(nome do modelo)*  
*VCC - Voltage Common Colletor*  
*GND - Ground*  
*TRIG - Trigger*  
*Cm - Centímetros*  
*Us - Microssegundos*  
*DC-DC - Direct Current to Direct Current*  
*VIN - Voltage Input*  
*VOUT - Voltage Output*  
*PWN - Pulse Width Modulation*  
*IC - Integrated Circuit*  
*Amp ou A – Ampere*  
*Volt - Volt*  
*USB - Universal Serial Bus*  
*I/O - Input/Output*  
*EPROM - Electrally Erasable Programmable Read Only Memory*  
*RDBMS - Relational Database Mangement System*  
*OLTP - Oline Transatction Processing*  
*MVCC - Multiversion Concurrency Control*  
*JSON - Javascript Object Notation*  
*QPS - Queries Per Second*  
*TPS – Transactions Per Second*

## 1 INTRODUÇÃO

O presente trabalho propõe o desenvolvimento de uma plataforma automatizada para o monitoramento de lagoas de águas residuárias por meio de sensores IoT, com o objetivo de prevenir transbordamentos, otimizar o uso de recursos humanos e garantir a segurança dos colaboradores. Essa abordagem contribui diretamente para a preservação ambiental e o uso eficiente dos recursos hídricos, especialmente na aplicação da vinhaça como fertilizante natural na agricultura tanto na preservação ambiental quanto na gestão dos colaboradores e dos recursos hídricos pois o uso descontrolado de material pode vir a contaminar lençóis freáticos, nascentes e rios matando a fauna e a flora. Por ser um resíduo industrial contaminante, o seu descarte tem que ser correto e de forma adequada, como as empresas sucroalcooleiras dominam da produção de etanol, na etapa de destilação para cada litro de álcool estima -se que é produzido de 10 a 15 litros de vinhaça.

Objetivo 1; monitorar em tempo real o nível dos lagos

Objetivo 2; saber em tempo real a estimativa em m<sup>3</sup> em cada reservatório

Objetivo 3; melhorar a gestão de funcionários e equipamentos dispostos ao setor

O presente trabalho está segmentado em: 1 Introdução; 2 Fundamentação Teórica; Materiais e Métodos; 4 Resultados Esperados; 5 Conclusões; ao final as Referências.

## 2 FUNDAMENTAÇÃO TEÓRICA

Montar um sistema eletrônico IoT que visa monitorar os níveis de água residuária que são armazenados em lagos, resíduos esses produzido pela indústria sucroalcooleira, os níveis de profundidade desses lagos de armazenamento de vinhaça não podem chegar a sua capacidade máxima, então é imprescindível o monitoramento constante e utilizando sensores conectados ao microcontrolador ESP32 visamos controlar esses níveis.

### *ESP32*

O ESP32, fabricado pela Espressif Systems, é um microcontrolador do tipo SoC (System on Chip) de 32 bits com conectividade Wi-Fi e Bluetooth, amplamente utilizado em aplicações de Internet das Coisas (IoT) devido ao seu desempenho, versatilidade e baixo consumo energético. Ele sucedeu ao ESP8266, oferecendo mais recursos de hardware e maior robustez, ideal para sistemas embarcados e conectados.

O livro *Developing IoT Projects with ESP32* (Oner, 2023) destaca que o ESP32 “é um microcontrolador SoC de baixo custo e energia eficiente, que se tornou a base de inúmeros dispositivos Wi-Fi, impulsionando a inovação em IoT”

O autor apresenta recursos como processador Xtensa dual-core (até 240 MHz), interfaces ADC, DAC, SPI, I<sup>2</sup>C, UART, além de aceleradores criptográficos e diferentes modos de economia de energia.

A programação do ESP32 pode ser feita tanto usando o ESP-IDF (framework oficial da Espressif) quanto por meio da Arduino IDE usando a camada Arduino Core, com suporte a código em C e C++. Um tutorial recente aponta que a Arduino Core habilita C++11 “sem configuração extra”, facilitando o uso de recursos modernos da linguagem

### *HC-SR04*

Implementar sensores HC-SR04 para a o acompanhamento dos níveis dos lagos unindo a comunicação wifi do microcontrolador ESP32, terá dados históricos reais diário da produção dos resíduos, dados esses que serão gravados em banco e tratados em uma plataforma para garantir a acessibilidade das informações.

O HC-SR04 é um sensor ultrassônico amplamente utilizado em sistemas embarcados e projetos de automação para medir distâncias de forma precisa e econômica. Ele funciona emitindo um pulso ultrassônico através do pino Trigger e medindo o tempo que o eco leva para retornar ao pino Echo, com base na velocidade do som. A distância até um objeto pode então ser calculada utilizando a fórmula:

$$\text{DISTÂNCIA} = (\text{TEMPO DO ECO} \times \text{VELOCIDADE DO SOM}) / 2$$

Esse tipo de sensor é útil em aplicações como robótica móvel, medição de nível de líquidos, sensoriamento de presença e desvios de obstáculos.

Segundo Silva (2020), o HC-SR04 é um sensor confiável e de baixo custo, operando com tensão de 5V e capaz de medir distâncias entre 2 cm e 400 cm com uma precisão de cerca de 3 mm.

### *STEP DOWN*

Um conversor step-down, também conhecido como regulador buck, é um dispositivo eletrônico utilizado para reduzir a tensão de entrada para um valor de saída mais baixo, mantendo a corrente compatível com a carga conectada. Esse tipo de regulador é essencial em sistemas embarcados que operam com sensores, microcontroladores e módulos sensíveis a tensões específicas.

O princípio de funcionamento de um step-down baseia-se na comutação rápida de um transistor de potência em conjunto com indutores e capacitores, permitindo uma conversão eficiente de energia. Diferente dos reguladores lineares, os reguladores buck possuem alta eficiência energética, normalmente superior a 85%, pois minimizam perdas por dissipação de calor.

Segundo Horowitz e Hill (2016), os conversores buck são amplamente utilizados em aplicações modernas por permitirem operação eficiente em sistemas alimentados por baterias, fontes solares ou redes elétricas instáveis.

## *IDE Arduino*

A IDE Arduino (Integrated Development Environment, ou Ambiente de Desenvolvimento Integrado) é uma plataforma de software livre criada para facilitar a programação de placas eletrônicas Arduino. Seu propósito é oferecer uma interface simples, acessível e compatível com usuários iniciantes ou avançados, permitindo a escrita, compilação e envio de códigos (sketches) diretamente para a placa micro controladora.

A IDE Arduino suporta a linguagem de programação baseada em C/C++, com bibliotecas específicas que facilitam a manipulação de sensores, atuadores e módulos eletrônicos. Possui uma área de edição de código, botões para compilar e carregar, um terminal serial para comunicação em tempo real, e suporta diversas placas como Arduino Uno, Mega, Nano, ESP32, entre outras.

Segundo Banzai e Shiloh (2015), “a principal motivação por trás do Arduino era criar uma ferramenta que tornasse mais acessível o uso de microcontroladores por pessoas que não fossem engenheiras eletrônicas” (p. 22). Isso se refletiu no desenvolvimento da IDE, que abstrai grande parte da complexidade técnica e encurta a curva de aprendizado para prototipagem eletrônica.

## MariaDB SQL

O MariaDB é um sistema gerenciador de banco de dados relacional (RDBMS), originado como um fork do MySQL, projetado para manter compatibilidade total, ao mesmo tempo em que implementa melhorias em desempenho, segurança e recursos.

De acordo com Razzoli, autor de *Mastering MariaDB*, “MariaDB combina características do MySQL, como replicação, transações e recuperação de desastres, com melhorias em desempenho, estabilidade, segurança e capacidades de monitoramento”.

Nos testes comparativos entre MariaDB e MySQL sob carga OLTP, MariaDB demonstrou desempenho competitivo, embora estudos mostrem que em cargas extremamente paralelas o MySQL geralmente leve vantagem. Por outro lado, comparado a bancos orientados a grafos como Neo4j, MariaDB apresentou desempenho até 29 vezes superior em consultas complexas após a devida otimização.

Além disso, segundo benchmarks independentes (Callaghan e ManagedServer, 2024), as versões mais recentes do MariaDB (ex. 11.4) mantêm desempenho consistente ao longo de várias versões e frequentemente superam o MySQL em throughput de inserção, leitura e escrita.

### **3 MATERIAIS E MÉTODOS**

#### **3.1 MATERIAIS**

##### Hardware

- Microcontrolador ESP32
- Sensores ultrassônicos HC-SR04
- Placa Step-Down para alimentação dos sensores
- Jumpers de conexão
- Lcd I2C
- Led RGB

##### Software

- Arduino IDE (versão 2.3.6)
- Banco de dados MariaDB
- Power BI Desktop e Power BI App

#### **3.2 MÉTODOS**

O ESP32 é programado para realizar leituras dos sensores e enviar os dados por Wi-Fi para o banco de dados (MariaDB) esses dados são recebidos e armazenados em banco de dados local ainda na versão de testes.

Posteriormente esses dados são processados na plataforma software do Power BI, após o tratamento e gerenciamento esses dados são disponibilizados em tempo real por meio de dashboards no Power BI. A intenção de monitorar a profundidade dos lagos é calcular o volume total preenchido da lagoa, baseada em fórmulas matemáticas geométricas de volume.



**Figura 1 - Esp**



**Figura 2 - Step Down**



**Figura 3 - Sensor Ultrassônico**



### 3.3 PROGRAMAÇÃO EM C++

Programando com ide Arduino

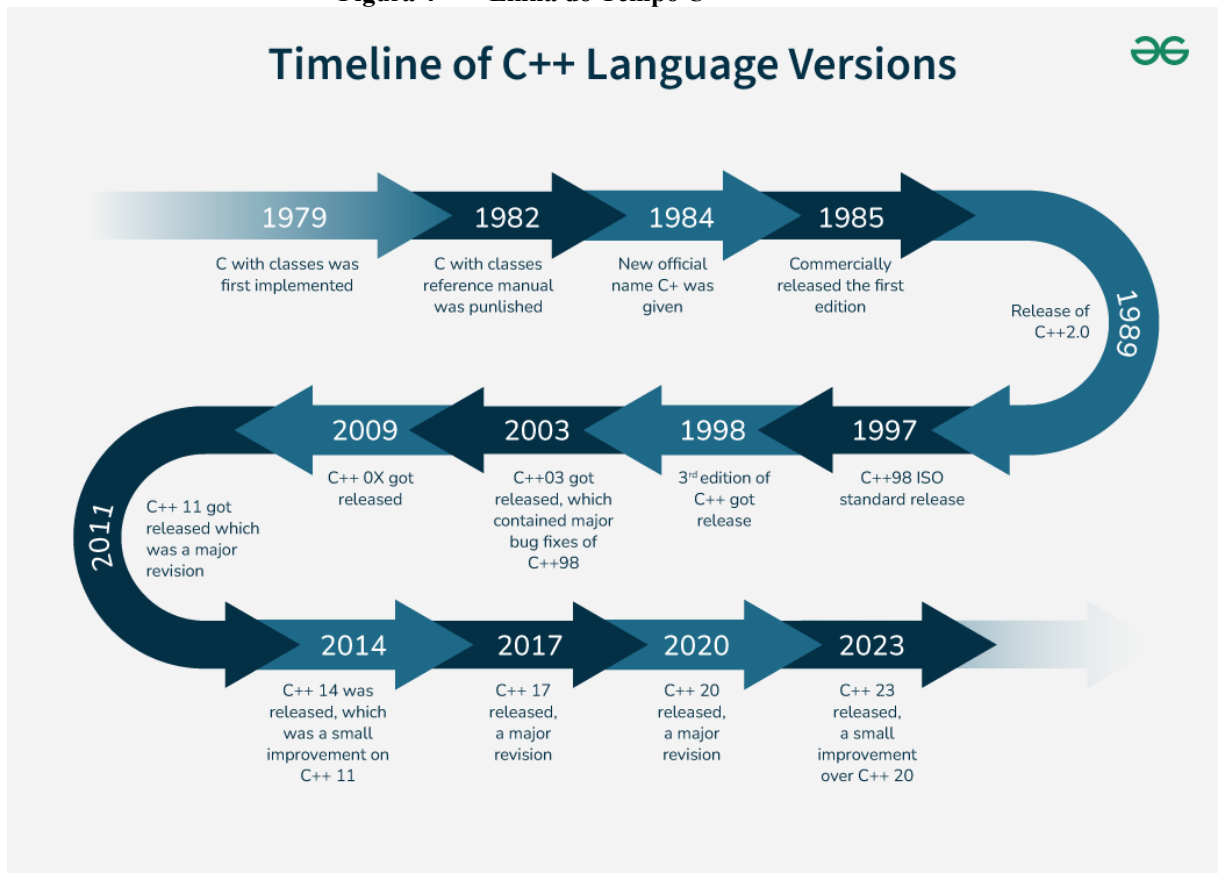
A linguagem utilizada para o desenvolvimento do código foi o C++, com o uso da IDE Arduino. O código foi elaborado para captar os dados de profundidade dos sensores HC-SR04 e realizar o envio dos dados para o banco MariaDB SQL via wifi, quer será armazenado inicialmente em uma máquina local.

História do C++

A linguagem C++ é uma linguagem de programação orientada a objetos e é uma combinação de linguagens de baixo e alto nível - uma linguagem de nível médio. A linguagem de programação foi criada, projetada e desenvolvida por um cientista da computação dinamarquês Bjarne Stroustrup, da Bell Telephone Laboratories (agora conhecida como Nokia Bell Labs) em Murray Hill, Nova Jersey. Como ele queria uma linguagem flexível e dinâmica que fosse semelhante a C com todos os seus recursos, mas com a adição de verificação de tipo ativa, herança básica, argumento de funcionamento padrão, classes, inlining etc., foi lançado o C com Classes(C++).

C++ era inicialmente conhecido como "C com classes" e foi renomeado C++ em 1983. ++ é uma abreviação para adicionar um à variedade na programação; portanto, C++ significa aproximadamente "um superior a C".

Figura 4 - Linha do Tempo C++



A origem da linguagem de programação C++ remonta a 1979, quando Bjarne Stroustrup estava desenvolvendo sua tese de doutorado. Uma das palavras com as quais Stroustrup teve a oportunidade de trabalhar foi uma linguagem chamada Simula, que, como o nome indica, era uma linguagem projetada principalmente para simulações. A linguagem simula 67 — essa foi a variante com a qual Stroustrup trabalhou — é considerada a principal linguagem a suportar o paradigma da programação orientada a objetos. Stroustrup descobriu que esse paradigma era útil para o desenvolvimento de pacotes; porém, a linguagem simula era muito lenta para uso prático.

Pouco depois, ele começou a trabalhar em "C com Classes", pois o que o nome indica era para ser um superconjunto da linguagem C. Seu principal sonho era traduzir sua programação avançada orientada a objetos, criada por ele, para a linguagem C, que, em sua época, ainda era a linguagem de programação amplamente respeitada por sua mobilidade, portabilidade e compacidade, sem sacrificar a velocidade ou a praticidade de baixo nível. Sua linguagem de programação incluía inlining, herança básica, argumentos de função padrão, categorias e verificação de classificação confiável, além de todas as opções da linguagem C.

O primeiro compilador C com categorias foi chamado de Cfront, derivado de um compilador C chamado CPre. Era um programa projetado para traduzir código C com categorias para o C universal. Um ponto interessante a ser observado é que o Cfront foi escrito principalmente em C com classes, tornando-o um compilador auto-hospedado (um compilador que se

autocompila). O Cfront seria abandonado em 1993, quando se tornou difícil integrar novas opções, principalmente exceções C++. Mesmo assim, o Cfront teve um impacto significativo nas implementações de compiladores futuros e no sistema operacional UNIX.

Em 1983, o nome da linguagem foi modificado de C com categorias para C++. O operador ++ na linguagem C é o operador associado para incrementar uma variável, o que fornece algumas informações sobre como Stroustrup considerava a linguagem de programação. Várias novas opções foram adicionadas nessa época, sendo as mais notáveis funções virtuais, sobrecarga de execução, referências com a palavra-chave `const` e comentários de uma única linha usando as duas barras (que podem ser um recurso retirado da linguagem BCPL).

Em 1985, a relação de Stroustrup com a linguagem, intitulada "A Linguagem de Programação C++", foi impressa e lançada. Naquele mesmo ano, C++ foi imposto como um produto de propaganda e, portanto, teve seu início como um componente comercial. A linguagem de programação não foi formalmente padronizada, mas tornou o livro uma referência essencial. A linguagem de programação foi atualizada novamente em 1989 para incorporar membros protegidos e estáticos, ainda como uma herança associada de muitas categorias e classes.

Em 1990, o manual de C++ Anotado, que era uma referência, foi lançado em todo o mundo. Somente em 1990, no mesmo ano, o compilador Turbo C++ da Borland também seria lançado comercialmente como um produto de propaganda. O Turbo C++ adicionou uma série de outras bibliotecas que poderiam ter um impacto substancial no desenvolvimento do C++. Embora o último lançamento estável do Turbo C++ tenha sido em 2006, o compilador continua a ser amplamente utilizado.

Em 1998, o comitê consultivo e de padrões de C++ publicou o primeiro padrão internacional para C++, ISO/IEC 14882:1998, informalmente chamado de C++98. O Manual Anotado de C++ foi mencionado como tendo uma influência significativa no desenvolvimento da norma. A biblioteca de modelos de qualidade (também conhecida como Biblioteca de Modelos Padrão), que iniciou sua construção intelectual em 1979, também foi incluída nele. Em 2003, o comitê analisou vários problemas que estavam de acordo com o padrão de 1998 e o revisou posteriormente. A linguagem modificada foi denominada C++03.

Em 2005, o mesmo comitê de C++ publicou um relatório técnico (chamado TR1) detalhando diversas opções que visavam aprimorar o mais novo padrão C++. A nova regra foi informalmente chamada de C++0x, pois era esperado que fosse lançada antes do final da primeira década. Ironicamente, porém, o novo padrão só foi implementado em meados de 2011. Muitos relatórios técnicos foram publicados até então, e alguns compiladores começaram a adicionar suporte experimental para os novos recursos e opções.

Em meados de 2011, a nova versão C++ (chamada C++11) foi concluída. O projeto da biblioteca Boost teve um impacto substancial na nova versão, e alguns dos novos módulos foram derivados diretamente das bibliotecas Boost correspondentes. Algumas das novas opções incluídas foram:

Nova sintaxe de loop for que oferece praticidade, assim como os loops foreach em diferentes linguagens específicas

- Biblioteca de threading personalizada (que até 2011 não existia em C e C++)
- Modelos Variadic
- Palavra-chave de inferência automática de tipo (auto)
- Novas categorias e classes de instrumentação
- Nova biblioteca de tempo C++, suporte a atomics
- Biblioteca de organização abrangente
- Suporte a expressões regulares
- Maior suporte para uniões e listas de inicialização de array

Em 2020, o novo padrão C++, C++20, foi finalizado, trazendo uma ampla gama de recursos e melhorias significativas para a linguagem. Muitas das novas funcionalidades foram influenciadas por propostas anteriores e contribuições da comunidade C++. Aqui estão alguns dos principais recursos introduzidos no C++20.

Figura 5 - Ide Arduino

The screenshot shows the Arduino IDE 2.3.6 interface. The main editor window displays the following code:

```

1 #include <MySQL_Connection.h>
2 #include <MySQL_Cursor.h>
3 #include <MySQL_Encrypt_Shal.h>
4 #include <MySQL_Packet.h>
5 #include <Wire.h>
6 #include <LiquidCrystal_I2C.h>
7 #include <MF1.h>
8 #include <MF1Client.h>
9 #include <TimeLib.h>
10 #include <NTPCClient.h>
11 #include <MF1Udp.h>
12
13 #define COL 16
14 #define LIN 4
15 #define ENDE 0x27
16 LiquidCrystal_I2C lcd(ENDE, COL, LIN);
17
18 // Pinos sensores ultrassônicos
19 #define TRIG_PIN_1 11
20 #define ECHO_PIN_1 12
21 #define TRIG_PIN_2 27
22 #define ECHO_PIN_2 14
23 #define TRIG_PIN_3 33
24 #define ECHO_PIN_3 32
25

```

The Serial Monitor window at the bottom shows the following output:

```

Distancia Sensor 1 (TRIG 13): -1.00
Distancia Sensor 2 (TRIG 27): -1.00
Distancia Sensor 3 (TRIG 33): -1.00
Falha na leitura de dados os sensores.
Distancia Sensor 1 (TRIG 13): 87.29
Distancia Sensor 2 (TRIG 27): 130.79
Distancia Sensor 3 (TRIG 33): 86.80
Profundidade media: 101.63
--TRYING--
Connected to server version 11.8.2-MariaDB
Conectado ao servidor MariaDB no IP: 192.168.167.23
Query SQL: INSERT INTO med_prof.dados (local, Prof_Media, Data, Hora) VALUES ('Carregamento Usina', 101.63, '2025-06-11', '13:22:27')
Dados inseridos com sucesso!

```

## 4 BIBLIOTECAS USADAS NO CÓDIGO

### MySQL\_Connection.h

- Permite a conexão com um banco de dados MySQL através de um cliente WiFi (como o ESP32), possibilitando operações como inserção, leitura e atualização de dados.

### MySQL\_Encrypt\_Sha1.h

- Usado para criptografar senhas com o algoritmo SHA1, como exigido por algumas versões do MySQL durante a autenticação.

### MySQL\_Packet.h

- Gerencia a criação e interpretação de pacotes de dados para comunicação entre o microcontrolador e o servidor MySQL.

### Wire.h

- Biblioteca padrão para comunicação I2C. Usada para se comunicar com dispositivos I2C como sensores e displays LCD.

### LiquidCrystal\_I2C.h

- Facilita o controle de displays LCD com interface I2C, como escrever texto na tela ou limpar o display.

### WiFi.h

- Permite a conexão do ESP32 (ou outro dispositivo com WiFi) a uma rede sem fio, essencial para uso da internet.

### WiFiClient.h

- Permite criar clientes de rede TCP para se conectar a servidores via IP e porta (como servidores MySQL, web etc.).

### TimeLib.h

- Proporciona funcionalidades para manipulação de tempo e data, como obter hora atual, fazer contagem de tempo etc.

### NTPClient.h

- Utilizada para sincronizar o tempo via internet usando servidores NTP (Network Time Protocol).

### WiFiUdp.h

- Habilita a comunicação UDP sobre WiFi, essencial para o funcionamento da NTPClient.

#### 4.1 MARIA DB SQL

Está é a interface de trabalho do software Maria DB, um sistema de banco de dados relacional compatível com MySQL usado para armazenar dados. Utiliza SQL (Structured Query Language) usada para realizar os inserções e consultas configurado para receber as informações geradas pelo projeto e armazenar em tabelas para posteriormente serem consultadas e usadas para gerar relatórios.

Figura 6 - Software Maria DB

The screenshot shows the MariaDB SQL interface. The main window displays a table with the following data:

#	id	Prof_Media	Local	Data	Hora
1	1	180,82	Carregamento Usina	2025-04-12	14:23:19
2	2	196,01	Carregamento Usina	2025-04-12	14:23:37
3	3	195,51	Carregamento Usina	2025-04-12	14:23:55
4	4	180,69	Carregamento Usina	2025-04-12	14:24:08
5	5	195,97	Carregamento Usina	2025-04-12	14:24:18
6	6	196,22	Carregamento Usina	2025-04-12	14:24:28
7	7	196,12	Carregamento Usina	2025-04-12	14:24:32
8	8	181,05	Carregamento Usina	2025-04-12	14:24:39
9	9	196,17	Carregamento Usina	2025-04-12	14:24:49
10	10	196,19	Carregamento Usina	2025-04-12	14:25:25
11	11	195,82	Carregamento Usina	2025-04-12	14:25:48
12	12	196,3	Carregamento Usina	2025-04-12	14:26:39
13	13	195,61	Carregamento Usina	2025-04-12	14:26:50
14	14	195,97	Carregamento Usina	2025-04-12	14:26:58
15	15	196,17	Carregamento Usina	2025-04-12	14:27:07
16	16	181,31	Carregamento Usina	2025-04-12	14:27:29
17	17	195,83	Carregamento Usina	2025-04-12	14:27:40
18	18	208,83	Carregamento Usina	2025-04-12	14:28:08
19	19	196,37	Carregamento Usina	2025-04-12	14:28:20
20	20	196,18	Carregamento Usina	2025-04-12	14:28:30
21	21	181,48	Carregamento Usina	2025-04-12	14:29:03
22	22	196,12	Carregamento Usina	2025-04-12	14:29:30
23	23	196,26	Carregamento Usina	2025-04-12	14:29:44

Below the table, the SQL editor contains the following code:

```

20 SHOW PROCEDURE STATUS WHERE `Db`='med_prof';
21 SHOW TRIGGERS FROM `med_prof`;
22 SELECT * FROM `information_schema`.`EVENTS` WHERE `EVENT_SCHEMA`='med_prof';
23 /* Carregando arquivos "C:\Users\julianotimoteo\OneDrive - Pitanguinhas Acucar e Alcool Ltda\POWERBI\Consulta Maria_DB.sql" (2 B) na aba de consulta #1 */
24 /* Redimensionando controles para tela DPI: 100% */
25 SHOW /*!50002 GLOBAL */ STATUS LIKE 'Com_*';
26 SELECT `DEFAULT_COLLATION_NAME` FROM `information_schema`.`SCHEMATA` WHERE `SCHEMA_NAME`='information_schema';
27 SHOW TABLE STATUS FROM `information_schema`;
28 SHOW FUNCTION STATUS WHERE `Db`='information_schema';
29 SHOW PROCEDURE STATUS WHERE `Db`='information_schema';
30 SHOW TRIGGERS FROM `information_schema`;
31 SELECT * FROM `information_schema`.`EVENTS` WHERE `EVENT_SCHEMA`='information_schema';
32 SELECT * FROM `information_schema`.`COLUMNS` WHERE `TABLE_SCHEMA`='information_schema' AND `TABLE_NAME`='PROCESSLIST' ORDER BY `ORDINAL_POSITION`;
33 SELECT `ID`, `USER`, `HOST`, `DB`, `COMMAND`, `TIME`, `STATE`, `LEFT( INFO, 51200) AS `Info`, `TIME_ID`, `STAGE`, `MAX_STAGE`, `PROGRESS`, `MEMORY_USED`, `MAX_MEMORY_USED`, `I
34 SHOW /*!50002 GLOBAL */ STATUS;
35 SHOW VARIABLES;
36 SHOW GLOBAL VARIABLES;
37 SELECT * FROM `information_schema`.`COLUMNS` WHERE `TABLE_SCHEMA`='med_prof' AND `TABLE_NAME`='dados' ORDER BY `ORDINAL_POSITION`;
38 SHOW INDEXES FROM `dados` FROM `med_prof`;
39 SELECT * FROM `information_schema`.`REFERENTIAL_CONSTRAINTS` WHERE `CONSTRAINT_SCHEMA`='med_prof' AND `TABLE_NAME`='dados' AND `REFERENCED_TABLE_NAME` IS NOT NULL;
40 SELECT * FROM `information_schema`.`KEY_COLUMN_USAGE` WHERE `TABLE_SCHEMA`='med_prof' AND `TABLE_NAME`='dados' AND `REFERENCED_TABLE_NAME` IS NOT NULL;
41 SELECT `FULL_COLLATION_NAME` AS `Collation`, `CHARACTER_SET_NAME` AS `Charset`, `ID` AS `Id`, `IS_DEFAULT` AS `Default`, `0` AS `Sortlen` FROM `information_schema`.`COLLATION_CHARACTER_
42 SHOW ENGINES;

```

Alguns comandos do banco no Maria DB

```
CREATE TABLE med_prof (
  id INT AUTO_INCREMENT PRIMARY KEY,
  nome VARCHAR (100) NOT NULL,
  especialidade VARCHAR (100),
  crm VARCHAR (20),
  telefone VARCHAR (20),
  e-mail VARCHAR (100),
  data_cadastro DATETIME DEFAULT CURRENT_TIMESTAMP
);
USE med_prof;
SHOW TABLES;
```

**Figura 7 - Arquivos locais**

MedProf	🟢 R	12/06/2025 15:12	Arquivo de Valores Separados por Vírgulas do Microsoft Excel	59 KB
Medprof	🟢 R	10/06/2025 16:33	Arquivo Fonte SQL	1 KB

## 5 RESULTADOS ESPERADOS

Com o uso do Power BI é uma ferramenta de análise de dados e criação de dashboards desenvolvidos pela Microsoft. Ela permite conectar, transformar, visualizar e compartilhar dados de forma interativa, facilitando a tomada de decisões com base em informações atualizadas.

- **Interface intuitiva**, com recursos arrastar-e-soltar.
- **Conexão com diversas fontes de dados** (Excel, SQL, web etc.).
- **Atualização automática de relatórios** e dashboards.
- **Compartilhamento fácil** de insights na nuvem ou em dispositivos móveis.



- **Uso da linguagem DAX**, que permite análises complexas e cálculos personalizados.

## 5.1 ANÁLISE DE DADOS

Neste aspecto a análise de dados ocorre quase que automaticamente em tempo real dependendo somente de uma conexão de rede para os dados serem visualizados em qualquer lugar, a praticidade de ter essas informações onde estiver e poder tomar a melhor decisão possível vai ajudar a gestão economizar tempo e recursos e evitar possíveis catástrofes ambientais, pois o vazamento desenfreado desses resíduos é extremamente perigoso para a fauna e flora locais.

Como já alertava PARACELSO, no século XVI: *“A diferença entre o remédio e o veneno está na dose”*

### 5.1.1 CALCULOS

Com base em alguns dados, é possível calcular o volume dos lagos e o volume preenchido com base nas leituras de profundidade enviadas pelos sensores permitindo realizar cálculos quase precisos.

Usando o cálculo de volume para o formato de tronco de pirâmide (ou prisma quadrado) onde a parte inferior ou a parte superior e são diferentes em tamanho, no caso específico a base contém 45m x 45m e topo 50m x 50m e profundidade 3 m podemos usar uma fórmula de volume.

Fórmula do volume de um tronco de pirâmide quadrada:

Figura 8 - Fórmula do volume

$$V = \frac{h}{3} \times \left( A_1 + A_2 + \sqrt{A_1 \times A_2} \right)$$

Onde:

$A_1$  = área da base superior =  $50 \times 50 = 2500 \text{ m}^2$

$A_2$  = área da base inferior =  $45 \times 45 = 2025 \text{ m}^2$

$h = 3 \text{ m}$

Substituindo na fórmula:

Figura 9 - Resolução da equação

$$V = \frac{3}{3} \times (2500 + 2025 + \sqrt{2500 \times 2025})$$

$$V = 1 \times (4525 + \sqrt{5\,062\,500})$$

$$V = 1 \times (4525 + 2250)$$

$$V = 6775 \text{ m}^3$$

Assim o volume do lago é de 6.775 metros cúbicos em sua totalidade.

Se quisermos saber o quanto de líquido temos se o lago tiver com 80 cm de profundidade A diferença agora é que a base inferior continua a mesma ( $45 \times 45$  m), mas a parte superior da superfície da água não é  $50 \times 50$  m, pois a água ainda não chegou até o topo. Então, precisamos calcular a área da superfície da água proporcionalmente à altura preenchida usamos um fator de proporcionalidade da escaleta altura preenchida.

$$\text{Fator} = 0,80 / 3 = 0,2667$$

Se o lado superior do lago é 50 m (no topo), então:

$$\text{lado da superfície da água} = 45 + (50-45) \times 0,2667 = 45 + 5 \times 0,2667 = 45 + 1,3335 = 46,3335\text{m}$$

Cálculo das áreas:

Área da base inferior:

$$A_2 = 45 \times 45 = 2025 \text{ m}^2$$

$$A_1 = 46,3335 \times 46,3335 \approx 2147,83 \text{ m}^2$$

**Figura 10 - Resolução da equação simulando preenchimento**

Substituindo:

$$V = \frac{0,80}{3} \times \left( 2147,83 + 2025 + \sqrt{2147,83 \times 2025} \right)$$

$$V = 0,2667 \times \left( 4172,83 + \sqrt{4348915,75} \right)$$

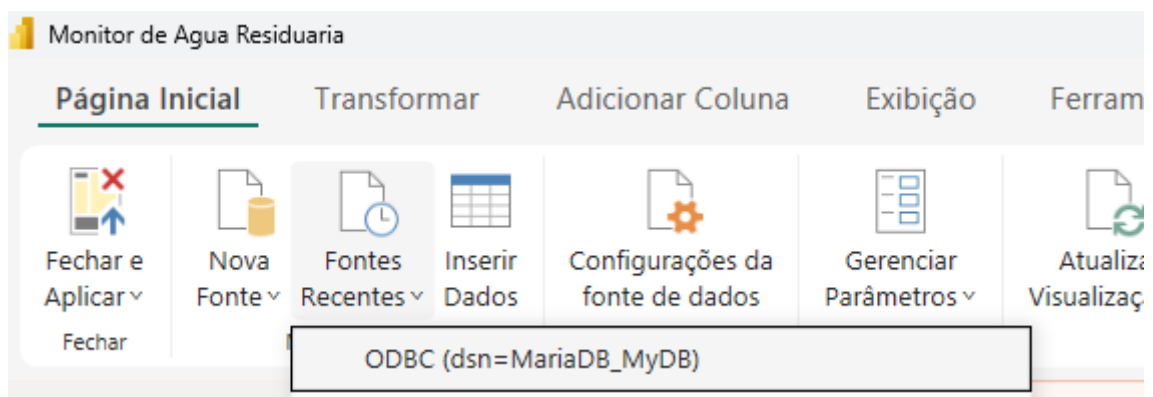
$$V = 0,2667 \times (4172,83 + 2085,4)$$

$$V = 0,2667 \times 6258,23 \approx \boxed{1668,86 \text{ m}^3}$$

## 6 RESULTADOS E DISCUSSÕES

Já na fase final do projeto onde insiro os dados coletados pelos sensores e gravados no banco diretamente na plataforma do Power BI Desktop, acessando o usuário do banco de dados do Maria DB, Como na figura abaixo.

**Figura 11 - Acessando o Banco Maria DB via Power BI**



Ele recebe as informações já tratadas no banco tornando fácil o seu manuseio.

**Figura 12 - Tela do Power Query do Power BI**

ID	Local	Prof_Media	Data	Hora
1	Carregamento Usina	67,6600366	11/06/2025	07:20:48
2	Carregamento Usina	67,1800031	11/06/2025	07:21:06
3	Carregamento Usina	67,6900244	11/06/2025	07:21:25
4	Carregamento Usina	67,2200122	11/06/2025	07:21:44
5	Carregamento Usina	67,7699664	11/06/2025	07:22:04
6	Carregamento Usina	71,1100061	11/06/2025	07:22:23
7	Carregamento Usina	67,7699664	11/06/2025	07:22:40
8	Carregamento Usina	67,1399639	11/06/2025	07:22:59
9	Carregamento Usina	67,6999636	11/06/2025	07:23:18
10	Carregamento Usina	67,1699817	11/06/2025	07:23:38
11	Carregamento Usina	71,8399634	11/06/2025	07:23:57
12	Carregamento Usina	67,6100061	11/06/2025	07:24:18
13	Carregamento Usina	67,0199664	11/06/2025	07:24:39
14	Carregamento Usina	67,7399786	11/06/2025	07:24:58
15	Carregamento Usina	67,4300031	11/06/2025	07:25:19
16	Carregamento Usina	67,7099908	11/06/2025	07:25:37
17	Carregamento Usina	71,8000208	11/06/2025	07:25:56
18	Carregamento Usina	67,6999636	11/06/2025	07:26:18
19	Carregamento Usina	76,9000153	11/06/2025	07:26:34
20	Carregamento Usina	67,7900092	11/06/2025	07:26:52
21	Carregamento Usina	71,8199636	11/06/2025	07:27:10
22	Carregamento Usina	67	11/06/2025	07:27:30
23	Carregamento Usina	67,6900244	11/06/2025	07:27:48
24	Carregamento Usina	67,4599908	11/06/2025	07:28:11
25	Carregamento Usina	67,0500308	11/06/2025	07:28:30
26	Carregamento Usina	76,7200122	11/06/2025	07:28:48
27	Carregamento Usina	106,8099976	11/06/2025	07:29:07
28	Carregamento Usina	67,1900244	07/02/2106	03:28:11
29	Carregamento Usina	67,7699664	11/06/2025	07:30:43
30	Carregamento Usina	67,1600266	11/06/2025	07:31:01
31	Carregamento Usina	67,4400244	11/06/2025	07:31:20
32	Carregamento Usina	67,3099976	11/06/2025	07:31:40

Figura 12 - Aqui a tabela já carregada me mostra como os dados gerados pelo dispositivo estão chegando para tratativas se caso necessário.

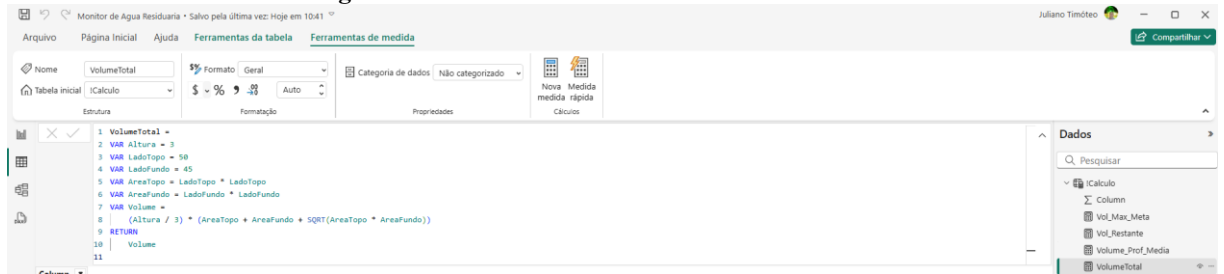
**Figura 13 - Area de trabalho interno do Power BI**

ID	Local	Prof_Media	Data	Hora	Prof_Media_metros
1081	Carregamento Usina	187	11/06/2025	10:44	1,87
1082	Carregamento Usina	187	11/06/2025	10:44	1,87
1083	Carregamento Usina	187	11/06/2025	10:44	1,87
1084	Carregamento Usina	187	11/06/2025	10:44	1,87
1085	Carregamento Usina	187	11/06/2025	10:44	1,87
1086	Carregamento Usina	187	11/06/2025	10:45	1,87
1087	Carregamento Usina	187	11/06/2025	10:45	1,87
1088	Carregamento Usina	187	11/06/2025	10:45	1,87
1089	Carregamento Usina	187	11/06/2025	10:45	1,87
1090	Carregamento Usina	187	11/06/2025	10:45	1,87
1091	Carregamento Usina	187	11/06/2025	10:45	1,87
1092	Carregamento Usina	187	11/06/2025	10:45	1,87
1093	Carregamento Usina	187	11/06/2025	10:45	1,87
1094	Carregamento Usina	187	11/06/2025	10:45	1,87
1095	Carregamento Usina	187	11/06/2025	10:45	1,87
1096	Carregamento Usina	187	11/06/2025	10:46	1,87
1097	Carregamento Usina	187	11/06/2025	10:46	1,87

Figura 13 - Nessa parte onde criamos os cálculos em DAX e se preciso novas tabelas de apoio para execução no dashboard final.

Esse é um exemplo de fórmula DAX criada para calcular o volume total do lago que possivelmente receberia o experimento.

**Figura 14 - Fórmula Dax de Volume**



VolumeTotal =

VAR Altura = 3

VAR LadoTopo = 50

VAR LadoFundo = 45

VAR AreaTopo = LadoTopo \* LadoTopo

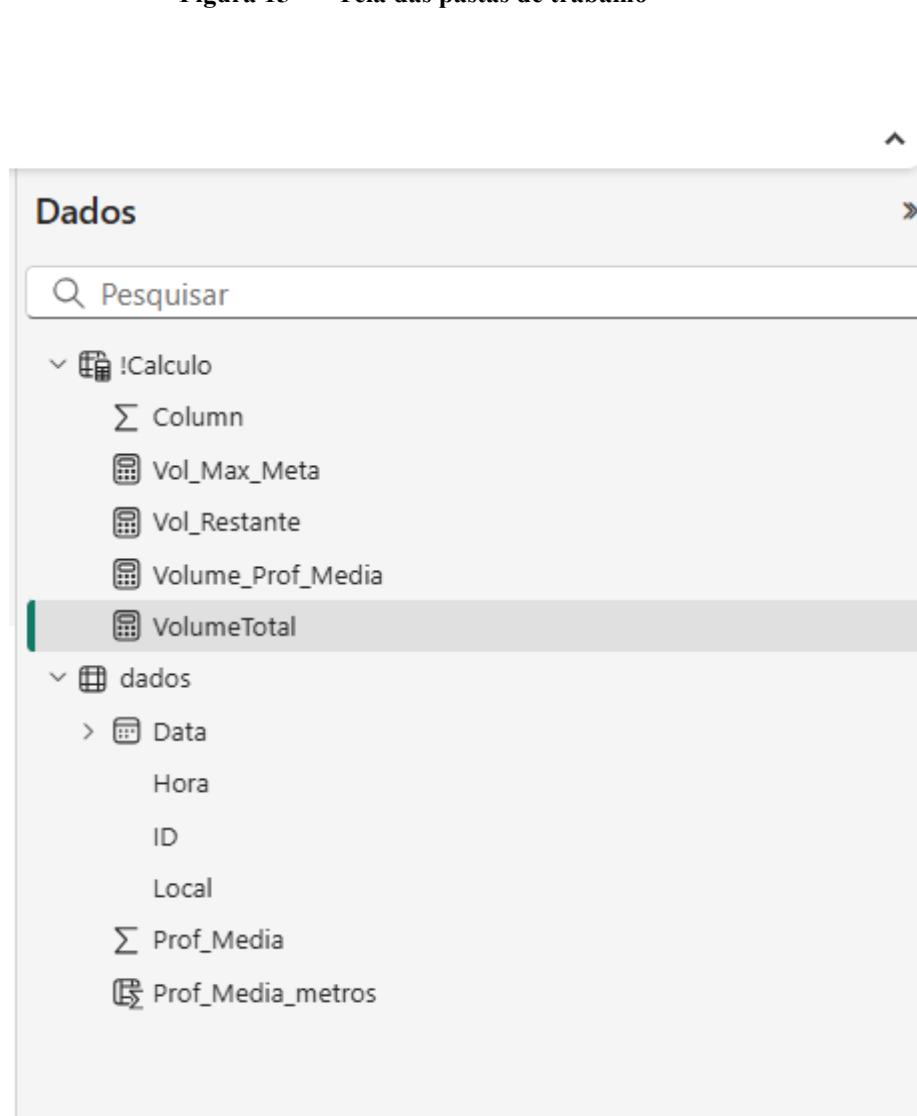
VAR AreaFundo = LadoFundo \* LadoFundo

VAR Volume =

(Altura / 3) \* (AreaTopo + AreaFundo + SQRT(AreaTopo \* AreaFundo))

RETURN

Volume

**Figura 15 - Tela das pastas de trabalho**

Nesta parte é extremamente importante deixar tudo organizado separando novas pastas de cálculos de dados obtidos para evitar qualquer tipo de confusão na hora de imputar os dados nos visuais do dashboard.

**Figura 16 - Area de trabalho visual do Power BI**



Com os dados devidamente tratados e cálculos feitos, então entramos na parte de desenvolvimento final onde são escolhidos os gráficos visuais, tabelas e imagens a serem usadas pois esta versão tem que ser pensada no entendimento do usuário final mostrando somente o que a de mais importante para ser visualizado.



## **7 CONCLUSÃO**

O sistema de monitoramento proposto demonstrou-se eficaz na coleta de dados no envio e na visualização. O uso de tecnologias acessíveis, como sensores HC-SR04, ESP32, Maria DB e Power BI, permitiram que as amostras de dados fossem tratadas de forma fácil, pois chegaram organizadamente ao destino, uma gestão mais inteligente e eficiente dos resíduos líquidos da indústria sucroalcooleira. Além disso, a iniciativa poderá contribuir para práticas mais sustentáveis, reduzindo o impacto ambiental e melhorando a produtividade e desempenho da equipe agrícola.

## 8 REFERÊNCIAS

ARDUINO. Arduino IDE Download. Disponível em: <https://www.arduino.cc/en/software/>

Acesso em: 10 jan. 2025.

CANAL. Brincando com Ideias. Disponível em: Brincando com Ideias - [YouTube](#).

<https://brincandocomideias.com.br/>

Acesso em: 05 fev. 2025.

CANAL. Eletrônica Maker. Disponível em: Eletrônica Maker - [YouTube](#).

<https://www.youtube.com/@eletronicamaker>

Acesso em: 05 fev. 2025.

CHEE, Sanhwa. Design Note 105: A New, High Efficiency Monolithic Buck Converter (LTC1265). Analog Devices, 2025.

<https://www.analog.com/en/resources/design-notes/ltc1265-monolithic-buck-converter.html>

Acesso em: 14 fev. 2025.

COOPER, Chris. Fundamentals of Buck Converter Efficiency. Electronic Design, 23 maio 2013.

<https://www.electronicdesign.com/technologies/power/article/21798171/fundamentals-of-buck-converter-efficiency>

Acesso em: 14 fev. 2025.

ESPRESSIF SYSTEMS. ESP32 Data Sheet (2017) e ESP32 Overview na Wikipédia. Disponível em: <https://en.wikipedia.org/wiki/ESP32>.

Acesso em: 01 Jan. 2025.

MARIADB FOUNDATION. MariaDB Download. Disponível em: <https://mariadb.org>.

Acesso em: 03 fev. 2025.

MICROSOFT. Download do Power BI. Disponível em:

SEED STUDIO. HC-SR04 features & tutorial. 2019. Disponível em: <https://www.seeedstudio.com/blog/2019/11/04/hc-sr04-features-arduino-raspberrypi-guide/>.

Acesso em: 02 jan. 2025.

TONGKAW, Sasalak; TONGKAW, Aumnat. "A comparison of database performance of MariaDB and MySQL with OLTP workload". 2016 IEEE Conference on Open Systems (ICOS), 2016.

WIKIPEDIA. Buck converter. Atualizado em junho 2025. Disponível em: [https://en.wikipedia.org/wiki/Buck\\_converter](https://en.wikipedia.org/wiki/Buck_converter).

Acesso em: 13 jun. 2025.

## APÊNDICE

Gráfico 1 - FAIXAS

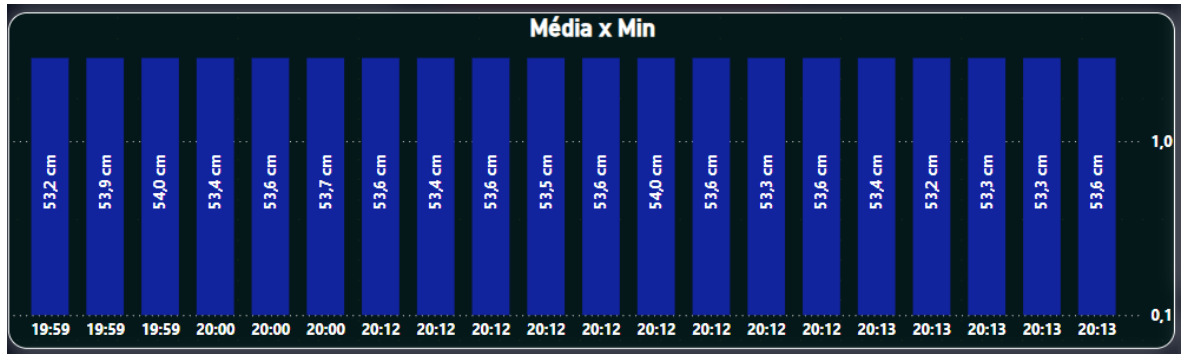


Gráfico 2 - AREA EMPILHADA

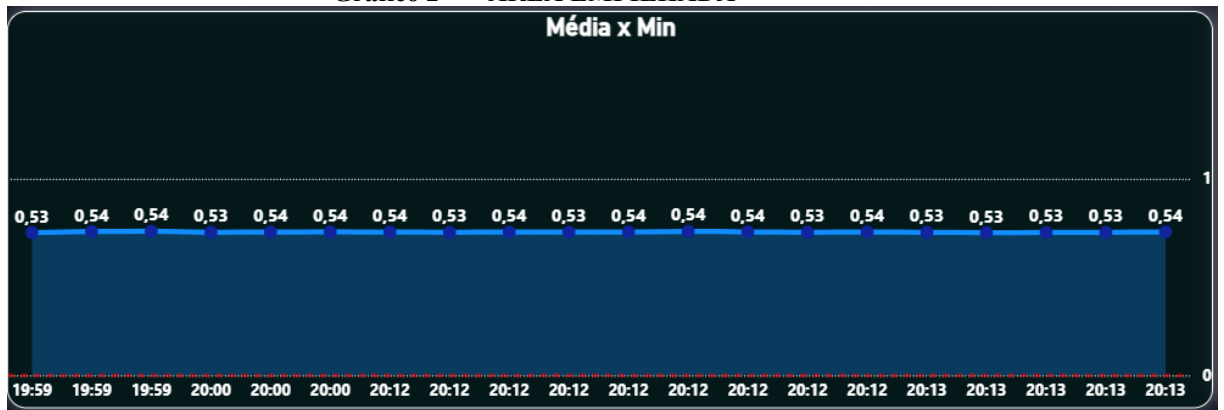
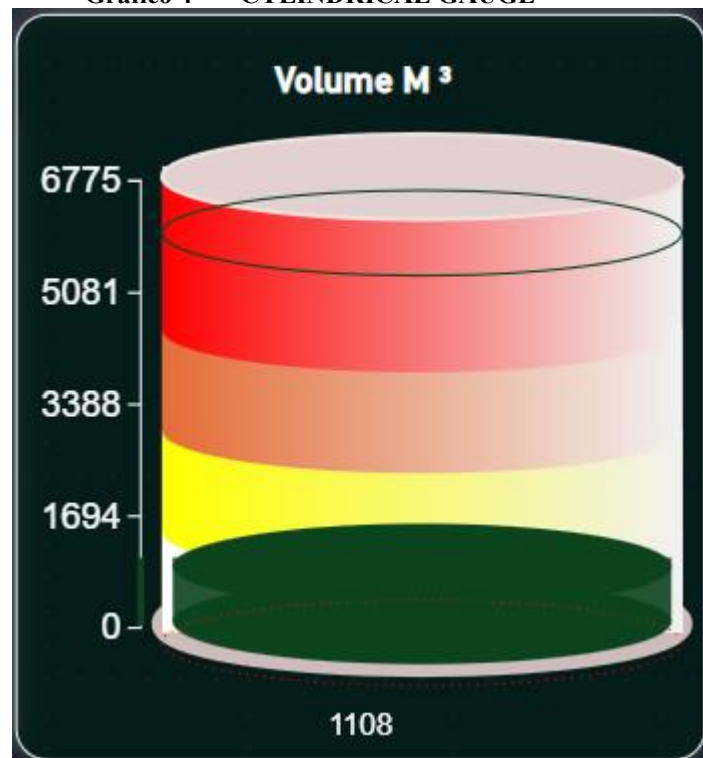


Gráfico 3 - ROSCA



Gráfico 4 - CYLINDRICAL GAUGE



CODIGO C++

```
#include <MySQL_Connection.h>
```

```
#include <MySQL_Cursor.h>
#include <MySQL_Encrypt_Sha1.h>
#include <MySQL_Packet.h>
#include <Wire.h>
#include <LiquidCrystal_I2C.h>
#include <WiFi.h>
#include <WiFiClient.h>
#include <TimeLib.h>
#include <NTPClient.h>
#include <WiFiUdp.h>

#define COL 16
#define LIN 4
#define ENDE 0x27
LiquidCrystal_I2C lcd(ENDE, COL, LIN);

// Pinos sensores ultrassônicos

#define TRIG_PIN_1 13
#define ECHO_PIN_1 12
#define TRIG_PIN_2 27
#define ECHO_PIN_2 14
#define TRIG_PIN_3 33
#define ECHO_PIN_3 32

// LEDs

#define LED_VERMELHO 4
#define LED_AZUL 2
#define LED_VERDE 15

// Credenciais WiFi e banco MariaDB

const char* ssid = "JULIANO";
const char* password = "*****";
char server[] = "192.168.167.23";
uint16_t server_port = 3306;
```

```

char user[] = "MedProf";
char db_password[] = "*****#";
char database[] = "med_prof";
char table[] = "dados";
char local[] = "Carregamento Usina";

WiFiClient client;
MySQL_Connection conn((Client *)&client);

// Controle

bool conectadoWifi = false;
unsigned long lastWifiReconnectAttempt = 0;
unsigned long wifiReconnectInterval = 60000;
float lastDistance = -1; // Distância inválida inicial

// NTP
WiFiUDP ntpUDP;
NTPClient timeClient(ntpUDP, "pool.ntp.org", -3 * 3600, 60000);

// Função para limpar uma linha do LCD
void limparLinha(int linha) {
    lcd.setCursor(0, linha);
    lcd.print("                "); // 16 espaços para limpar a linha
}

// Função para mostrar o IP alinhado 3 casas à esquerda na linha 3 do LCD
void mostrarIPnaLinha3() {
    limparLinha(3);
    String ipStr = WiFi.localIP().toString();
    int startCol = ((16 - (int)ipStr.length()) / 2);
    if (startCol < 0) startCol = 0; // Evita posição negativa
    lcd.setCursor(startCol, 3);
    lcd.print(ipStr);
}

```

```
// Função para conectar ao WiFi
void conectarWiFi() {
  Serial.println("Iniciando conexão com o Wi-Fi...");
  limparLinha(2);
  lcd.setCursor(0, 2);
  lcd.print("Conectando...");
  limparLinha(3);

  WiFi.begin(ssid, password);
  int tentativas = 0;

  while (WiFi.status() != WL_CONNECTED && tentativas < 6) {
    delay(1000);
    Serial.print(".");
    tentativas++;
  }

  if (WiFi.status() == WL_CONNECTED) {
    Serial.println("\nConectado ao Wi-Fi!");
    Serial.print("IP: ");
    Serial.println(WiFi.localIP());

    conectadoWifi = true;
    timeClient.begin();

    limparLinha(2);
    lcd.setCursor(0, 2);
    lcd.print("WiFi OK!");
    mostrarIPnaLinha3();

    digitalWrite(LED_VERDE, HIGH);
    digitalWrite(LED_VERMELHO, LOW);
    digitalWrite(LED_AZUL, LOW);
    delay(2000);
```



```

} else {
  Serial.println("\nFalha ao conectar ao Wi-Fi.");
  conectadoWifi = false;

  limparLinha(2);
  lcd.setCursor(0, 2);
  lcd.print("Erro WiFi!");
  limparLinha(3);
  lcd.setCursor(0, 3);
  lcd.print("Reconectando...");

  digitalWrite(LED_VERMELHO, HIGH);
  digitalWrite(LED_AZUL, LOW);
  digitalWrite(LED_VERDE, LOW);
}
}

// Função para medir distância do sensor ultrassônico
float getDistance(int trigPin, int echoPin) {
  digitalWrite(trigPin, LOW);
  delayMicroseconds(2);
  digitalWrite(trigPin, HIGH);
  delayMicroseconds(10);
  digitalWrite(trigPin, LOW);

  long duration = pulseIn(echoPin, HIGH);
  if (duration == 0) return -1; // Sem leitura válida
  return (duration / 2.0) * 0.0343;
}

// Função para verificar sensores, exibir e enviar dados
void verificarSensores() {
  float distance1 = getDistance(TRIG_PIN_1, ECHO_PIN_1);
  float distance2 = getDistance(TRIG_PIN_2, ECHO_PIN_2);
  float distance3 = getDistance(TRIG_PIN_3, ECHO_PIN_3);
}

```

```
Serial.print("Distancia Sensor 1 (TRIG "); Serial.print(TRIG_PIN_1); Serial.print("): ");
Serial.println(distance1);
```

```
Serial.print("Distancia Sensor 2 (TRIG "); Serial.print(TRIG_PIN_2); Serial.print("): ");
Serial.println(distance2);
```

```
Serial.print("Distancia Sensor 3 (TRIG "); Serial.print(TRIG_PIN_3); Serial.print("): ");
Serial.println(distance3);
```

```
float sumDistances = 0;
```

```
int validReadings = 0;
```

```
String sensorErrorMsg = "";
```

```
if (distance1 > 2 && distance1 < 300) {
```

```
    sumDistances += distance1;
```

```
    validReadings++;
```

```
} else {
```

```
    sensorErrorMsg += "S1 ";
```

```
}
```

```
if (distance2 > 2 && distance2 < 300) {
```

```
    sumDistances += distance2;
```

```
    validReadings++;
```

```
} else {
```

```
    sensorErrorMsg += "S2 ";
```

```
}
```

```
if (distance3 > 2 && distance3 < 300) {
```

```
    sumDistances += distance3;
```

```
    validReadings++;
```

```
} else {
```

```
    sensorErrorMsg += "S3 ";
```

```
}
```

```
if (validReadings > 0) {
```

```
    float averageDistance = sumDistances / validReadings;
```

```
    lastDistance = averageDistance;
```

```
limparLinha(0);
```

```

lcd.setCursor(0, 0);
lcd.print("Profundidade:");
limparLinha(1);
lcd.setCursor(0, 1);
lcd.print(averageDistance);
lcd.print(" cm");

Serial.print("Profundidade media: ");
Serial.println(averageDistance);

if (validReadings < 3) {
  Serial.print("Falha na leitura dos sensores: ");
  Serial.println(sensorErrorMsg);
}

// Agora sempre insere no DB a média válida (mesmo com menos de 3 sensores
válidos)

  inserirDadosMariaDB(averageDistance);

} else {
  Serial.println("Falha na leitura de TODOS os sensores.");
  limparLinha(0);
  lcd.setCursor(0, 0);
  lcd.print("Profundidade:");
  limparLinha(1);
  lcd.setCursor(0, 1);
  if (lastDistance != -1) {
    lcd.print(lastDistance);
    lcd.print(" cm (S. OFF)");
  } else {
    lcd.print("N/A (S. OFF)");
  }
}
}
}

```

```

// Função para inserir dados no banco MariaDB
void inserirDadosMariaDB(float averageDistance) {
  if (conectadoWifi) {
    if (conn.connect(server, server_port, user, db_password)) {
      Serial.print("Conectado ao servidor MariaDB no IP: ");
      Serial.println(server);

      delay(500);
      timeClient.update();
      time_t rawtime = timeClient.getEpochTime();
      struct tm *ti = localtime(&rawtime);
      char data[11];
      char hora[9];
      strftime(data, sizeof(data), "%Y-%m-%d", ti);
      strftime(hora, sizeof(hora), "%H:%M:%S", ti);

      String INSERT_SQL = String("INSERT INTO ") + database + "." + table +
        " (Local, Prof_Media, Data, Hora) VALUES (" + local + ", " +
        String(averageDistance) + ", " + data + ", " + hora + ")";

      Serial.print("Query SQL: ");
      Serial.println(INSERT_SQL);

      MySQL_Cursor *cur_mem = new MySQL_Cursor(&conn);
      if (!cur_mem->execute(INSERT_SQL.c_str())) {
        Serial.println("Erro ao inserir dados");
        limparLinha(2);
        lcd.setCursor(0, 2);
        lcd.print("Erro DB!");
        limparLinha(3);
        lcd.setCursor(0, 3);
        lcd.print("Falha ao gravar");
      } else {
        Serial.println("Dados inseridos com sucesso!");
        limparLinha(2);

```

```

    lcd.setCursor(0, 2);
    lcd.print("Dados enviados!");
    limparLinha(3);
    lcd.setCursor(0, 3);
    lcd.print("      ");
    delay(1000);
    limparLinha(2);
    lcd.setCursor(0, 2);
    lcd.print("WiFi OK!");
    mostrarIPnaLinha3();
  }
  delete cur_mem;
  conn.close();
} else {
  Serial.println("Falha na conexao com o banco de dados.");
  limparLinha(2);
  lcd.setCursor(0, 2);
  lcd.print("Erro DB!");
  limparLinha(3);
  lcd.setCursor(0, 3);
  lcd.print("Verifique rede");
}
} else {
  Serial.println("Nao conectado ao Wi-Fi, nao inserindo dados no MariaDB.");
}
}

// Função para reconectar ao WiFi periodicamente
void reconectarWiFi() {
  if (!conectadoWifi && (millis() - lastWifiReconnectAttempt > wifiReconnectInterval)) {
    Serial.println("Tentando reconectar Wi-Fi...");
    conectarWiFi();
    lastWifiReconnectAttempt = millis();
  }
}
}

```

```

void setup() {
  Serial.begin(115200);
  lcd.init();
  lcd.backlight();
  lcd.clear();

  pinMode(LED_VERMELHO, OUTPUT);
  pinMode(LED_AZUL, OUTPUT);
  pinMode(LED_VERDE, OUTPUT);

  pinMode(TRIG_PIN_1, OUTPUT);
  pinMode(ECHO_PIN_1, INPUT);
  pinMode(TRIG_PIN_2, OUTPUT);
  pinMode(ECHO_PIN_2, INPUT);
  pinMode(TRIG_PIN_3, OUTPUT);
  pinMode(ECHO_PIN_3, INPUT);

  conectarWiFi();
}

void loop() {
  reconectarWiFi();
  verificarSensores();
  delay(2000);
}

```

#### CODIGOS SQL

Criação e recriação do usuário MedProf com senha \*\*\*\*\* e, posteriormente, \*\*\*\*\*.

Hosts permitidos:

'localhost'

'%' (qualquer host)

'IP\_DO\_ESP32' (específico para integração com ESP32)

Permissões:

GRANT ALL PRIVILEGES ON med\_prof.\* TO 'MedProf@'...'

Seguido sempre por FLUSH PRIVILEGES

Alterações de senha usando:

SET PASSWORD FOR ...

ALTER USER ... IDENTIFIED BY ...

ALTER USER ... IDENTIFIED VIA mysql\_native\_password USING PASSWORD(...)

---

Banco de Dados e Tabelas

Criação do banco:

CREATE DATABASE med\_prof;

Criação da tabela dados (repetidamente, com pequenas alterações):

sql

CopiarEditar

```
CREATE TABLE dados (
  id INT AUTO_INCREMENT PRIMARY KEY,
  Local VARCHAR(100),
  Prof_Media FLOAT,
  Data DATE,
  Hora TIME
);
```

Uso da base:

USE med\_prof;

Consultas Executadas

Visualização de usuários:

```
SELECT User, Host FROM mysql.user WHERE User = 'MedProf';
```

Visualização de tabelas e estrutura:

```
SHOW TABLES;
```

```
DESCRIBE dados;
```

Visualização de registros:

```
SELECT * FROM med_prof.dados ORDER BY id DESC LIMIT 10;
```